

江苏省医学会核医学分会第十届影像学组线上读片讨论

病例提供者: 张伟晓

来源单位:南京明基医院

发布时间: 2025年05月9日

临床病史

女,79岁

主 诉:腹痛伴血便1月余。

现病史: 1月前无明显诱因下出现腹痛,进食后疼痛加重,伴胸闷、乏力。10 余天前解暗红色成形血便两次,当地医院予以予输血、抑酸等对症治疗。既往胆囊切除术后,腹壁切口疝。当地医院腹部CT示中腹部小肠局部肠壁增厚。

实验室检查

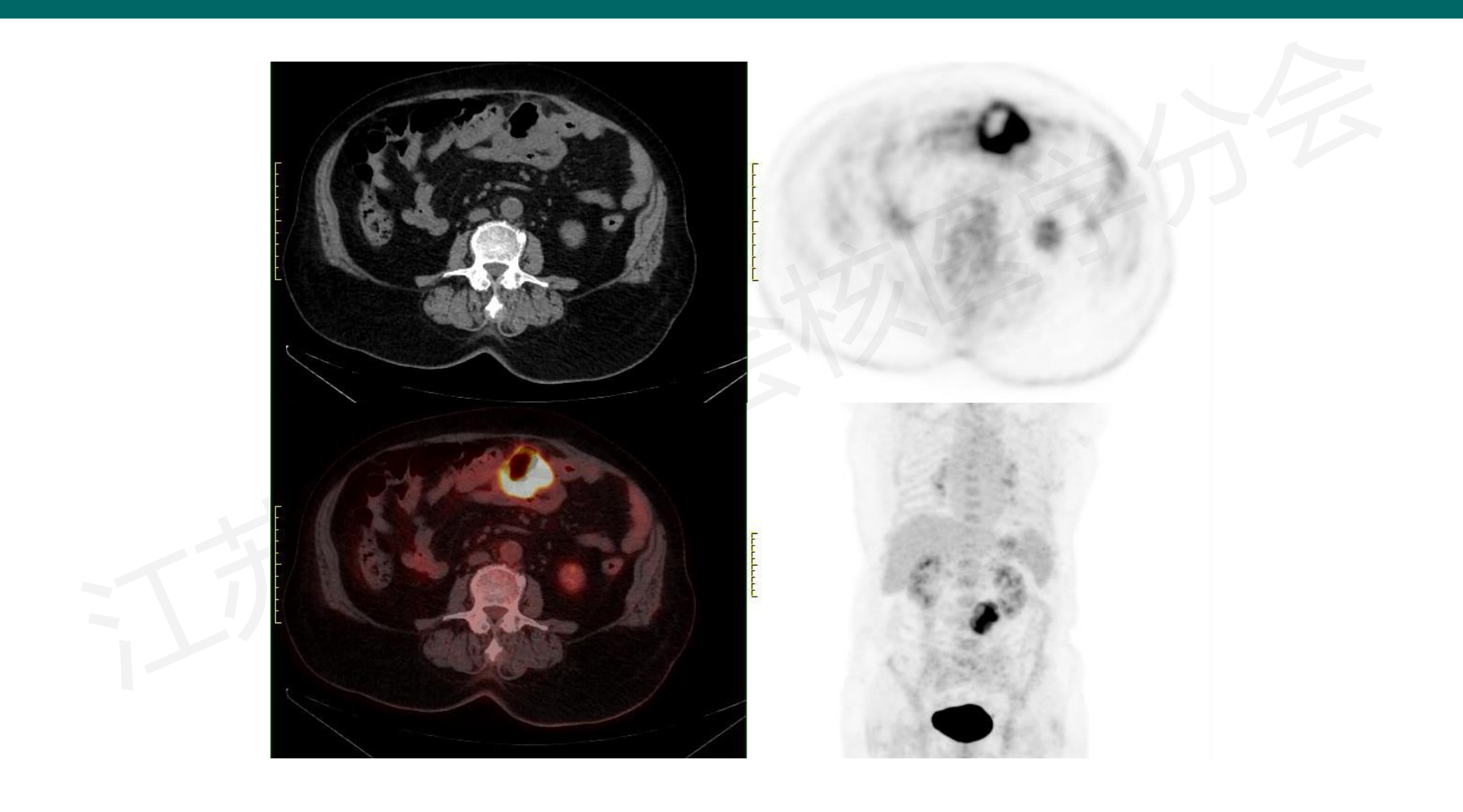
代号	项目名称	结果	提示	单位	参考范围	代号	项目名称	结果	提示	单位	参考范围
hsCRP	超敏C反应蛋白	28. 1	t	mg/L	0.010.0	E0%	嗜酸性粒细胞百分比	1.7		%	0.48.0
PCT	降钙素原	0.05		ng/ml	≤0.05	BASO%	嗜碱性粒细胞百分比	0.3		%	0.0-1.0
WBC	*白细胞	7.11		10^9/L	3.509.50	NEUT#	中性粒细胞计数	5. 90		10^9/L	1.806.30
RBC	*红细胞	2.76	Į.	10^12/L	3. 805. 10	LYMPH#	淋巴细胞计数	0.67	1	10^9/L	1. 103. 20
HGB	*血红蛋白	76	Į.	g/L	115150	MONO#	单核细胞计数	0.40		10^9/L	0.100.60
HCT	红细胞压积	25.3	Į.	%	35. 045. 0	E0#	嗜酸性粒细胞计数	0.12		10^9/L	0.020.52
PLT	*血小板	275		10^9/L	125350	BASO#	嗜碱性粒细胞计数	0.02		10^9/L	0.000.06
MPV	平均血小板体积	11.70		fL	6. 512. 0						
MCV	平均红细胞体积	91.7		fL	82. 0-100. 0						
MCH	平均血红蛋白量	27.5		pg	27-34						
MCHC	平均血红蛋白浓度	300	1	g/L	316354						
RDW-SE)红细胞分布宽度SD	50.4		fL	35. 056. 0						
RDW-CV	/ 红细胞分布宽度CV	15.0		%	11.016.0						
NEUT%	中性粒细胞百分比	83.0	1	%	40.075.0						
LYMPH9	6淋巴细胞百分比	9.4	1	%	20. 050. 0						
MONO%	单核细胞百分比	5. 6		%	3. 010. 0						

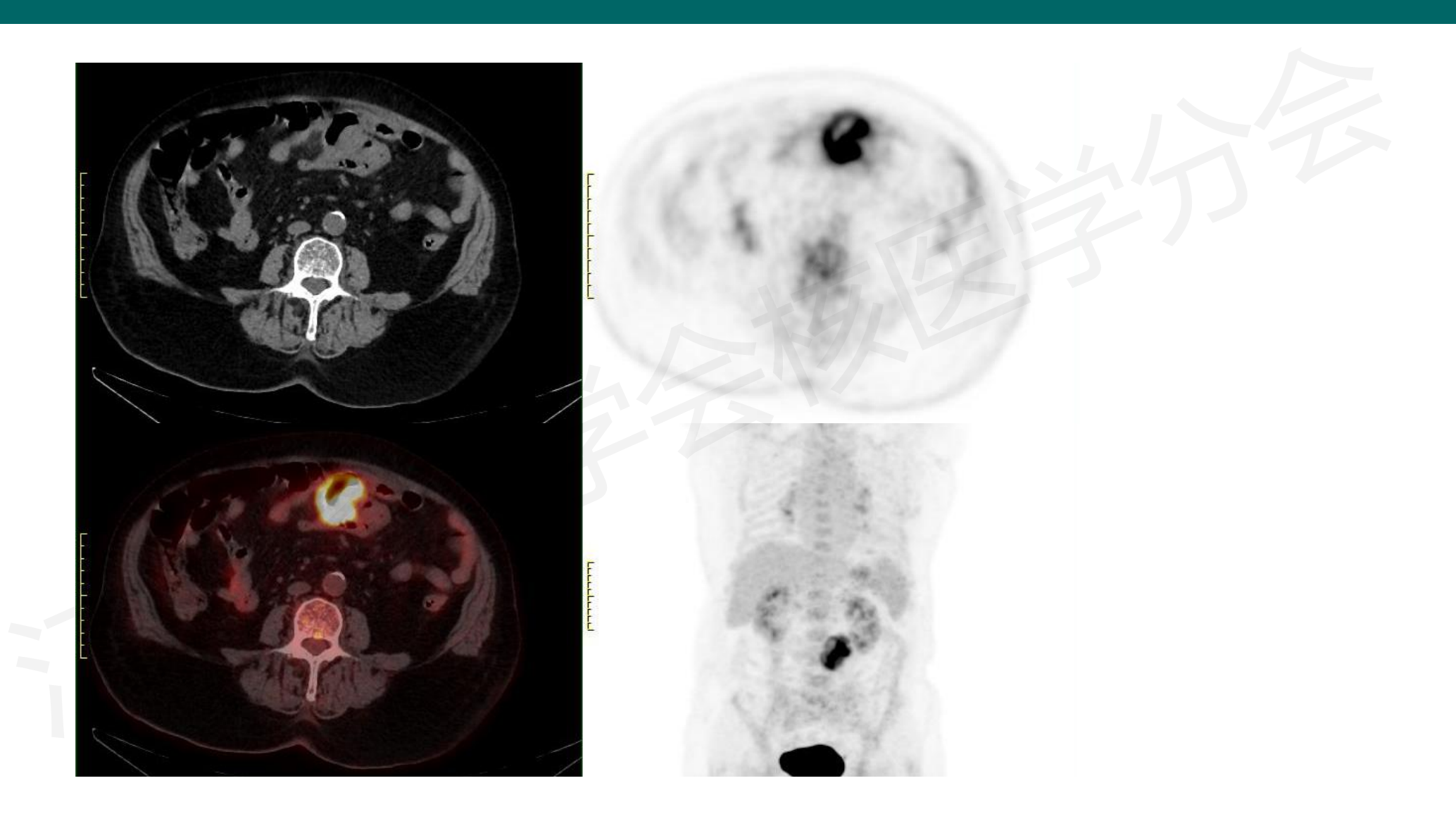
实验室检查

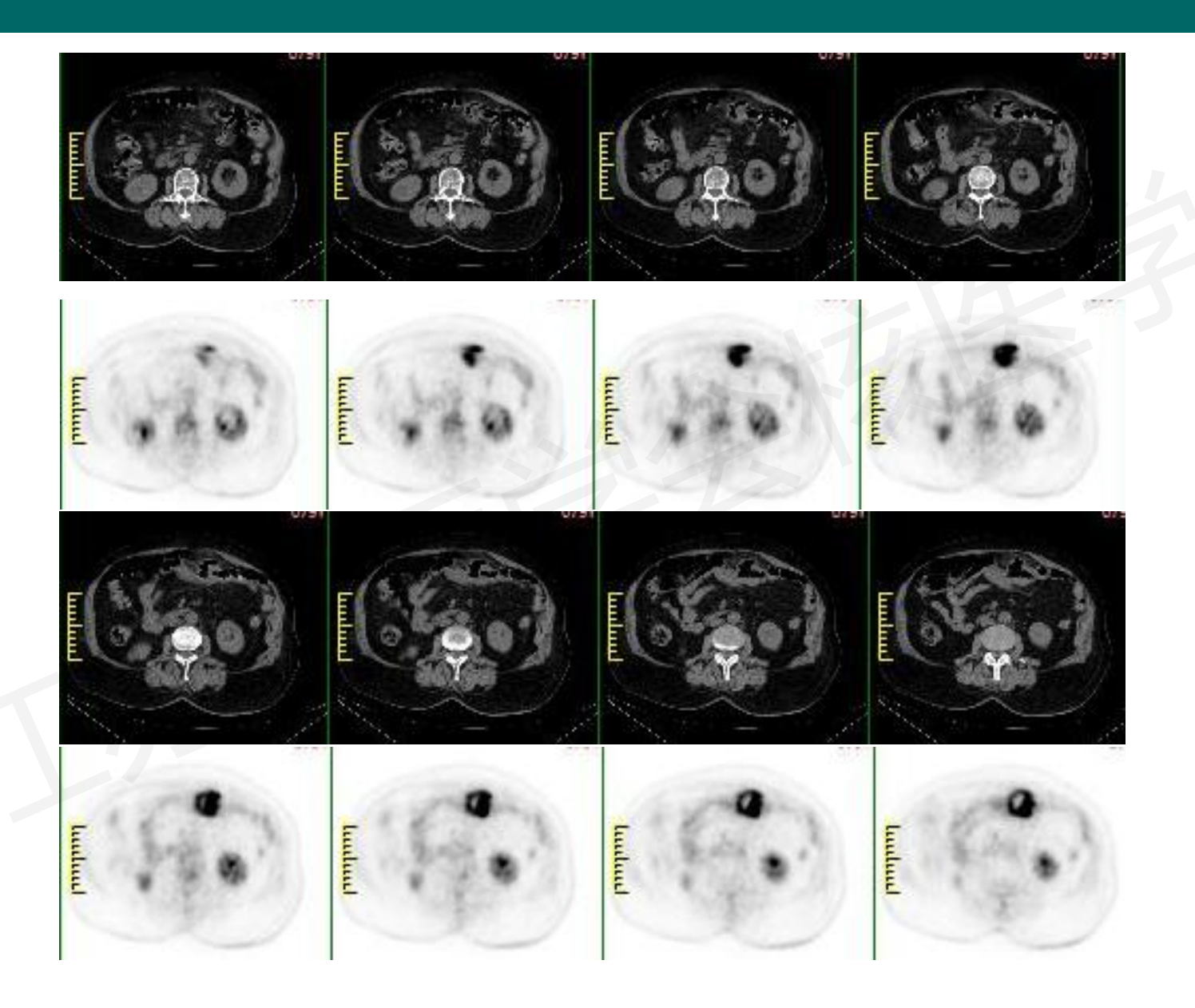
代号	项目名称	结果	提示	单位	参考范围	代号	项目名称	结果	提示	单位	参考范围
IBIL	间接胆红素	2.12		umol/L	010	APO-B	载脂蛋白B	1.39	†	g/L	0. 6-1. 17
ALT	*谷丙转氨酶	14.10		U/L	740	UREA	*尿素	3.62		mmol/L	3.1-8.8
AST	*谷草转氨酶	17.90		U/L	1335	CREA	*肌酐	93	1	umol/L	41-81
GGT	*谷氨酰转肽酶	13		U/L	745	UA	*尿酸	215.0		umol/L	142. 8-339. 2
ALP	*碱性磷酸酶	74		U/L	40129	GLU	*葡萄糖	5. 31		mmo1/L	3, 896, 11
TP	*总蛋白	57.70	ļ	g/L	6585	K	*钾	4.43		mmo1/L	3. 55. 3
ALB	*白蛋白	33.50	ļ	g/L	4055	NA	*钠	144		mmol/L	137-147
LDH	*乳酸脱氢酶	222.3		U/L	85. 0250. 0	CL	*氣	106		mmol/L	99110
TBIL	*总胆红素	5.20		umol/L	021	Ca	*钙	2.26		mmol/L	2. 11-2. 52
CK	*肌酸激酶	19.1	ļ	U/L	40200	C-Ca	校正钙	2.39		mmol/L	2. 11-2. 52
DBIL	*直接胆红素	3.08		umol/L	≤8	P	*ф	0.98		mmol/L	0. 851. 51
C02-L	血清碳酸氢盐	26.3		mmol/L	22. 0-29. 0	AMY	淀粉酶	25	ļ	U/L	35135
CHOL	*总胆固醇	4.63		mmol/L	<5. 17	oCEPer	估算肾小球滤过率(50. 59	1	ml/min	80, 00-120, 00
TG	*甘油三酯	2.08		mmol/L	<2. 26	eorker	(信見肖小球遮过率 (「肌酐)	30. 33	•	III1/ III III	00.00 120.00
HDL-C	高密度脂蛋白	0.67	1	mmol/L	1. 003. 10	A/G	白蛋白与球蛋白比值	1.38			1. 22. 4
					不同ASCVD	GLOB	球蛋白	24.20		g/L	2030
					危险人群目标值:						
LDL-C	低密度脂蛋白	2.76		mmol/L	低危人群:<3.4:						
	in in section 2007				中高危人群:<2.6; 极高危人群:<1.8;						
					超高危人群:<1.4						
APO-A1	载脂蛋白A1	0.84	1	g/L	1. 082. 25						
are an	4A/III 284 1-1111	5101	•	6/ L	1100 2120						

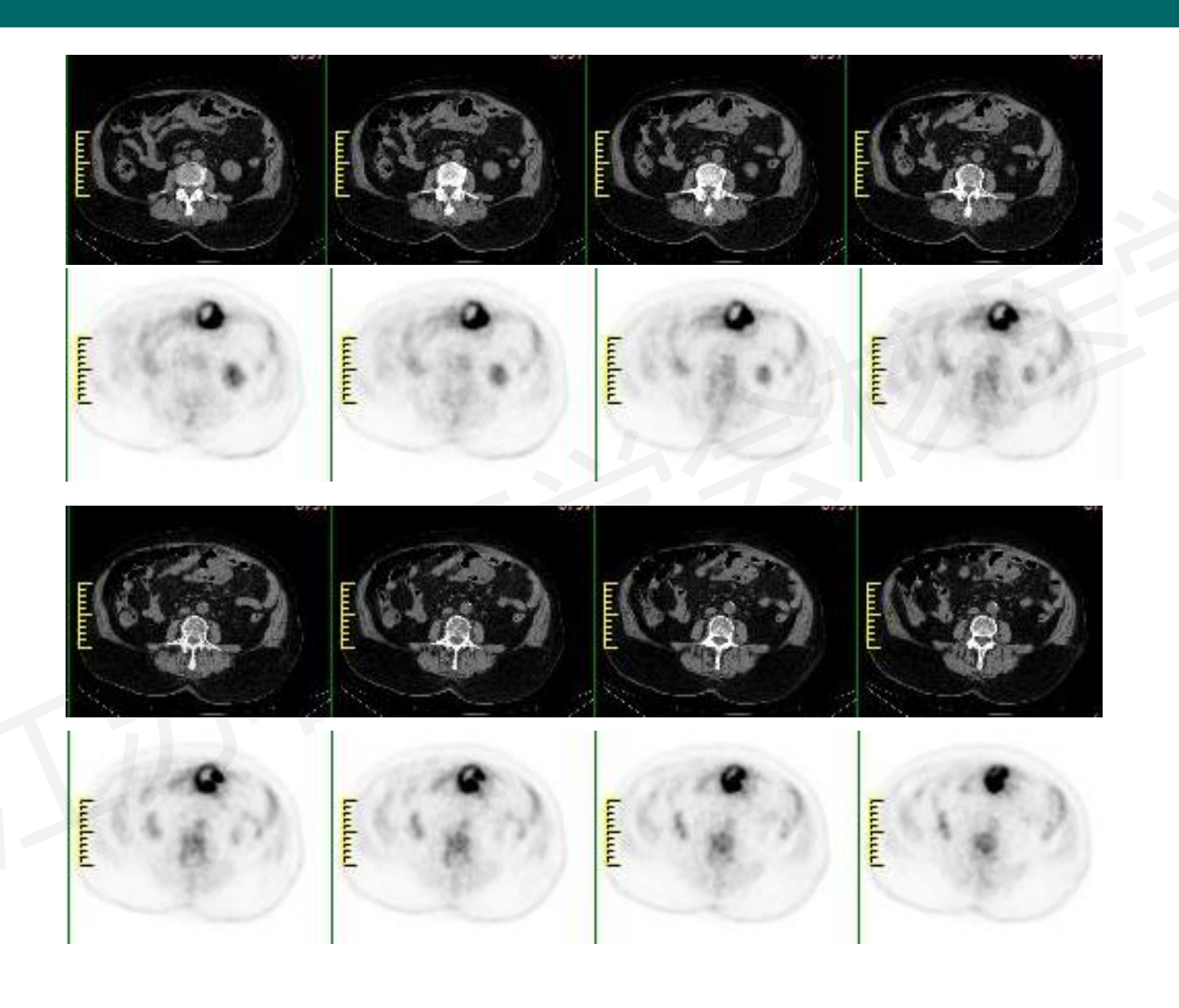
实验室检查

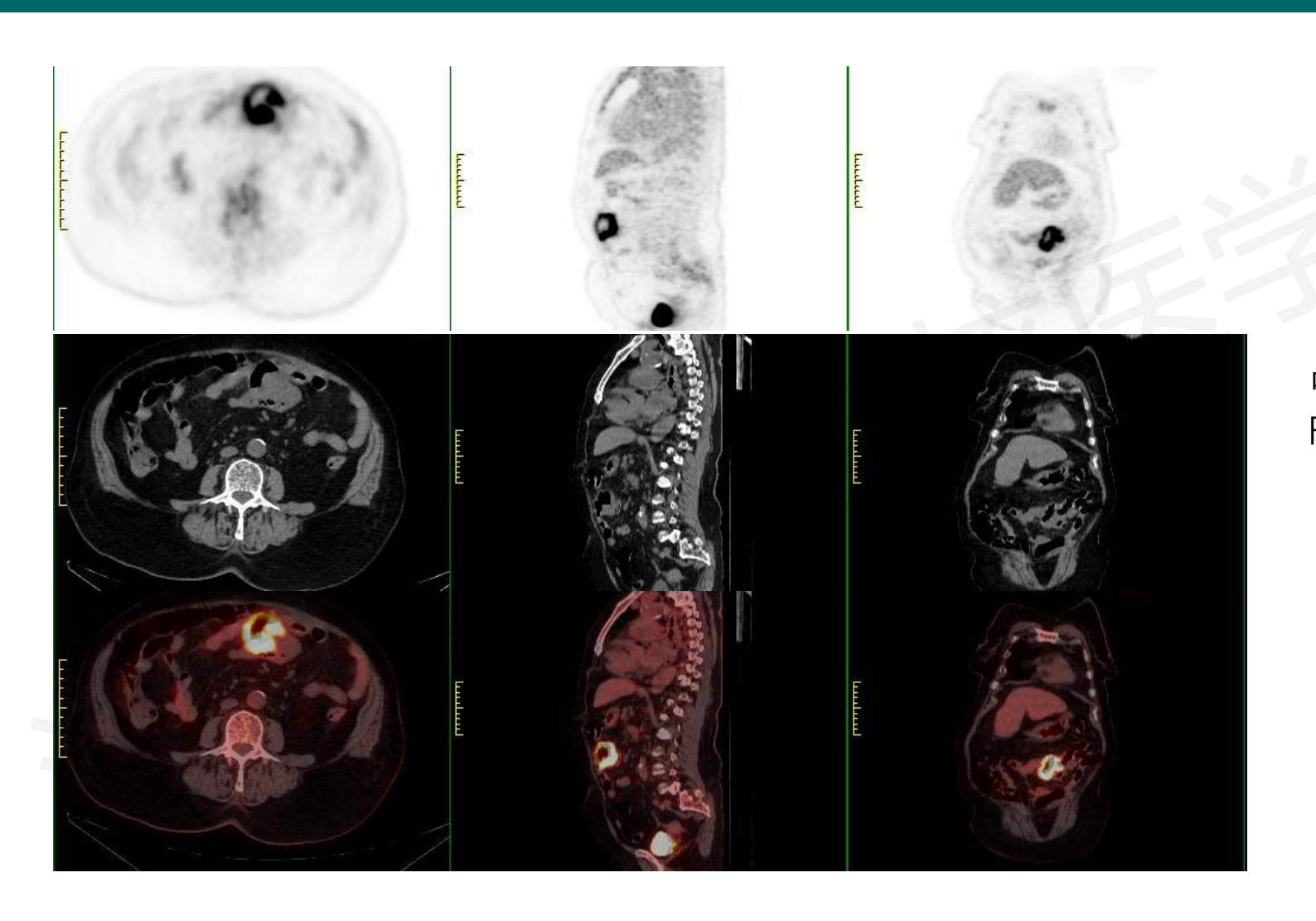
代号	项目名称	结果	提示	单位	参考范围
ProGPR	胃泌素释放肽前体	45, 41		pg/ml	0.00-69.20
AFP	*甲胎蛋白	1.67		ng/ml	0.00-7.00
NSE	神经元特异性烯醇化酶测定	12.74		ng/ml	0.00—16.30
CA24-2	糖类抗原CA24-2	1.50		U/m1	0, 00-20, 00
CA153	糖类抗原CA15-3	11.85		U/ml	0.00-28.00
CA125	糖类抗原CA-125	127.70	1	U/m1	0.00-35.00
CA72-4	糖类抗原CA72-4	0.60		U/m1	0.00-6.90
CA199	糖类抗原CA19-9	8. 52		U/ml	0.00-27.00
CEA	*癌胚抗原	1.51		ng/ml	0.00-5.50
CYFRA21	非小细胞肺癌相关抗原21-1测定	2.27		ng/ml	0.00-3.30











中腹部空肠肠壁不规则增厚, FDG代谢增高,SUV最大值25.6

您的诊断?



病理结果

组织学类型: 胃肠间质瘤 (GIST) (梭形细胞型)

肿瘤数目及大小: 单发, 大小5.5*4*2.5cm

核分裂象: > 10/5mm2

肿瘤坏死:有肿瘤破裂:有

腹腔播散:不能判断

手术切缘: 近端消化道切缘及远端消化道切缘均未见肿瘤组织

假包膜情况: 不完整

区域淋巴结: 淋巴结(0/20) 未见肿瘤累及

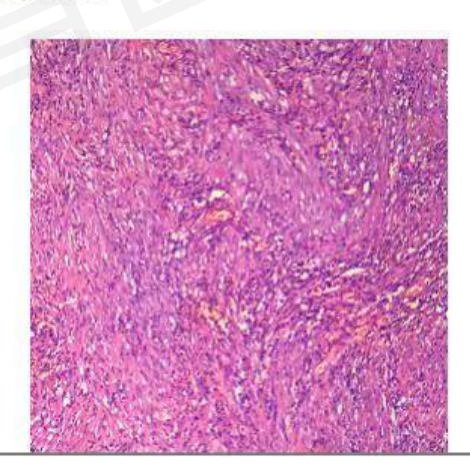
备注: 免疫组化标记结果 瘤细胞显示 CKpan (-), CD117 (3+), DOG-1 (3+),

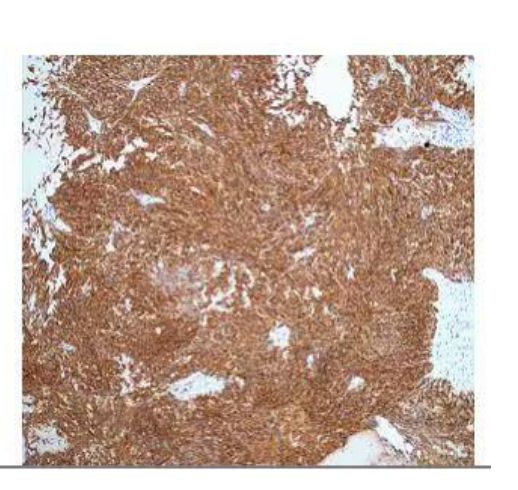
CD34 (3+), SDHB (+), SMA (-), Desmin (-), S-100 (-), SOX-10 (-),

Catenin β (胞浆+), p53 (提示错义突变), Ki67 (20%+)。图示HE及CD117。

危险度评估: 高危险度 (NIH2008改良版即中国共识2017修订版)

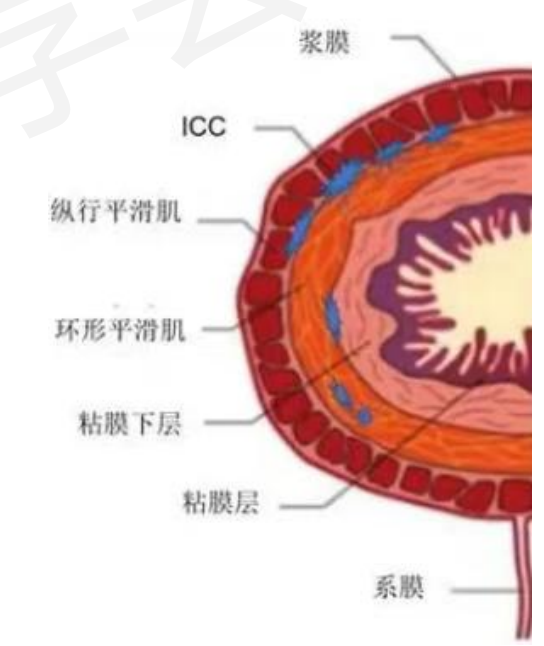
分期: pT3N0Mx





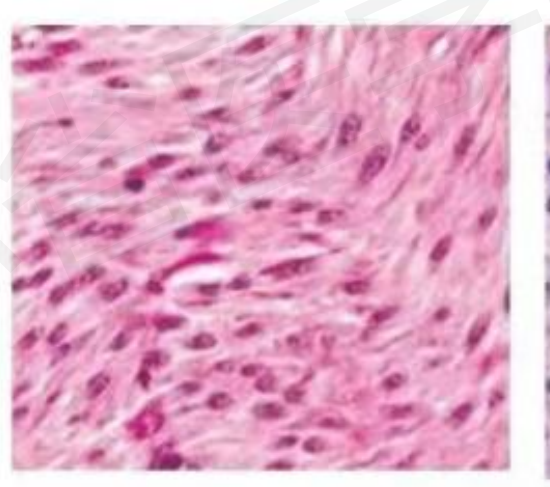
总结

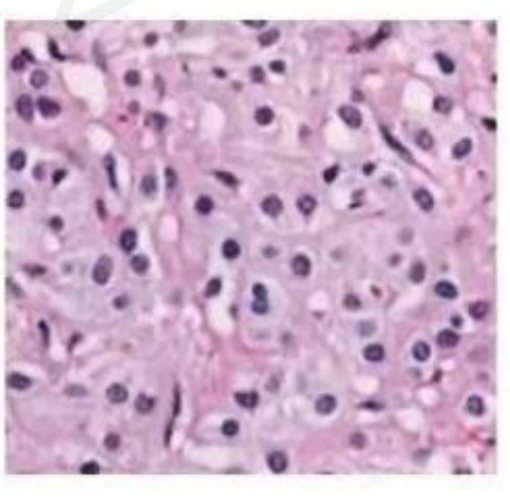
- ➤ 间质瘤是小肠最常见的间叶性肿瘤,发生于十二指肠约25-50%,空 肠约25-50%,回肠约25%。
- ▶ 50岁以上中老年多见,无明显性别差异。
- ▶ 临床表现无特异性,常见症状包括溃疡、出血、腹痛、肠梗阻、恶心呕吐等



病理

- ➤ GIST为间叶源性肿瘤,是一种非上皮源性肿瘤,独立起源于卡哈尔间 质细胞,主要由不成熟梭形细胞或上皮样细胞过度增殖形成,具有多 向分化及恶变潜能。
- ➤ 免疫组化检测通常表达CD117和DOG1阳性

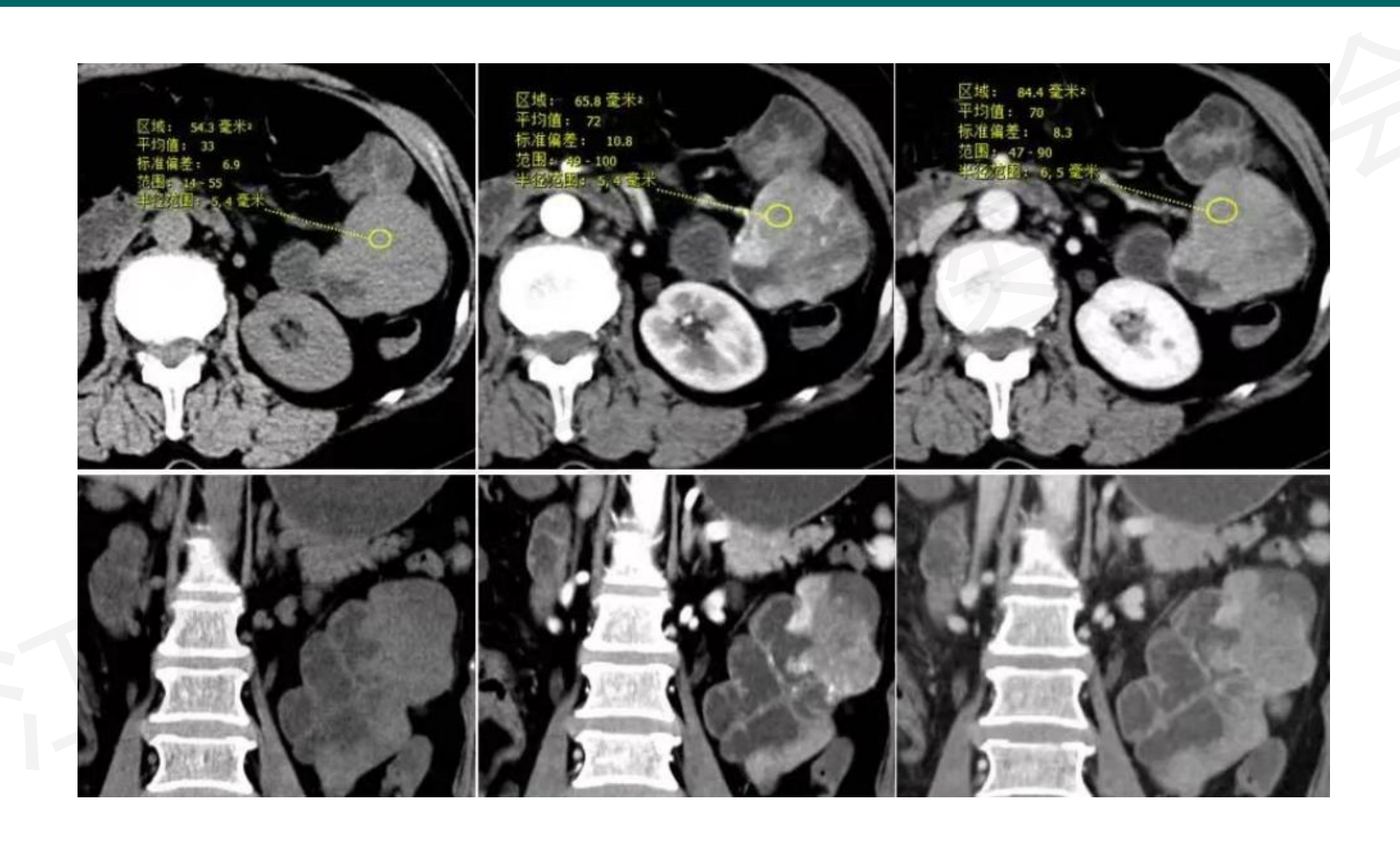




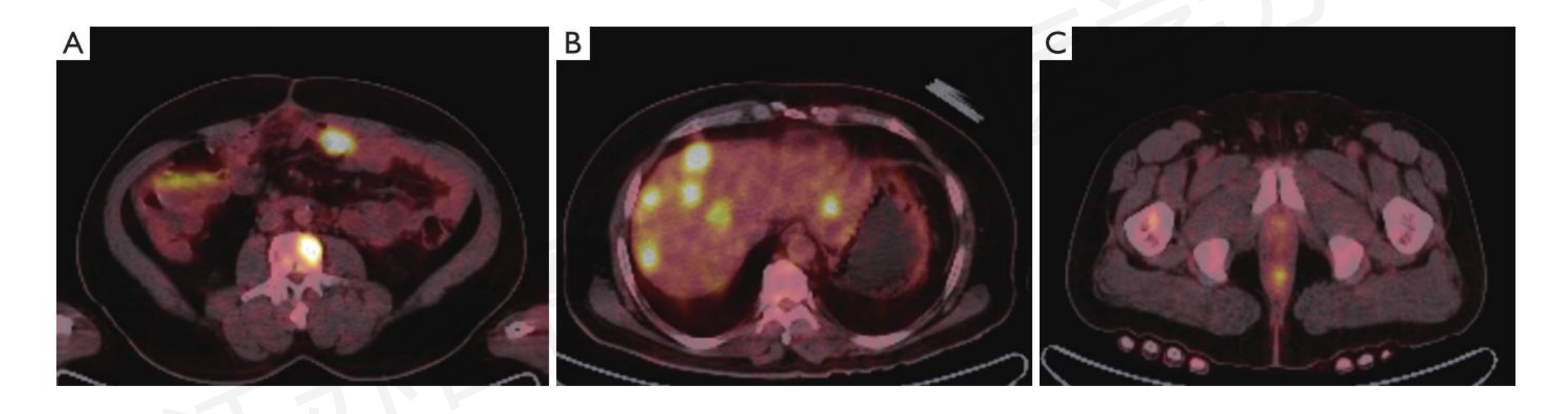
GIST影像表现

- ▶ 分型: 黏膜下型为肿瘤从粘膜下向腔内突出; 肌壁间型为肿瘤向腔内外突出生长; 浆膜下型为肿瘤从浆膜向腔外生长。外生性更常见。
- ➤ CT表现: 软组织密度, 圆形或卵圆形, 少数不规则或分叶状, 典型表现为外生性肿块, 明显强化, 肿块通常有完整的粘膜面。
- ▶ 强化方式:形式多样,可表现为均匀或不均匀的无-明显强化,以不均匀明显强化多见,静脉期强化减退。
- ▶ 高危险度征象: 肿瘤粘膜面溃疡、坏死,形状不规则,边缘模糊浸润,供血或引流血管扩张,邻近脏器侵犯等。
- ➤ GIST瘤体较小时一般不发生转移,一般早期不发生淋巴结转移,常见的转移 途经为血行转移至肝脏及腹腔种植转移。

GIST典型病例



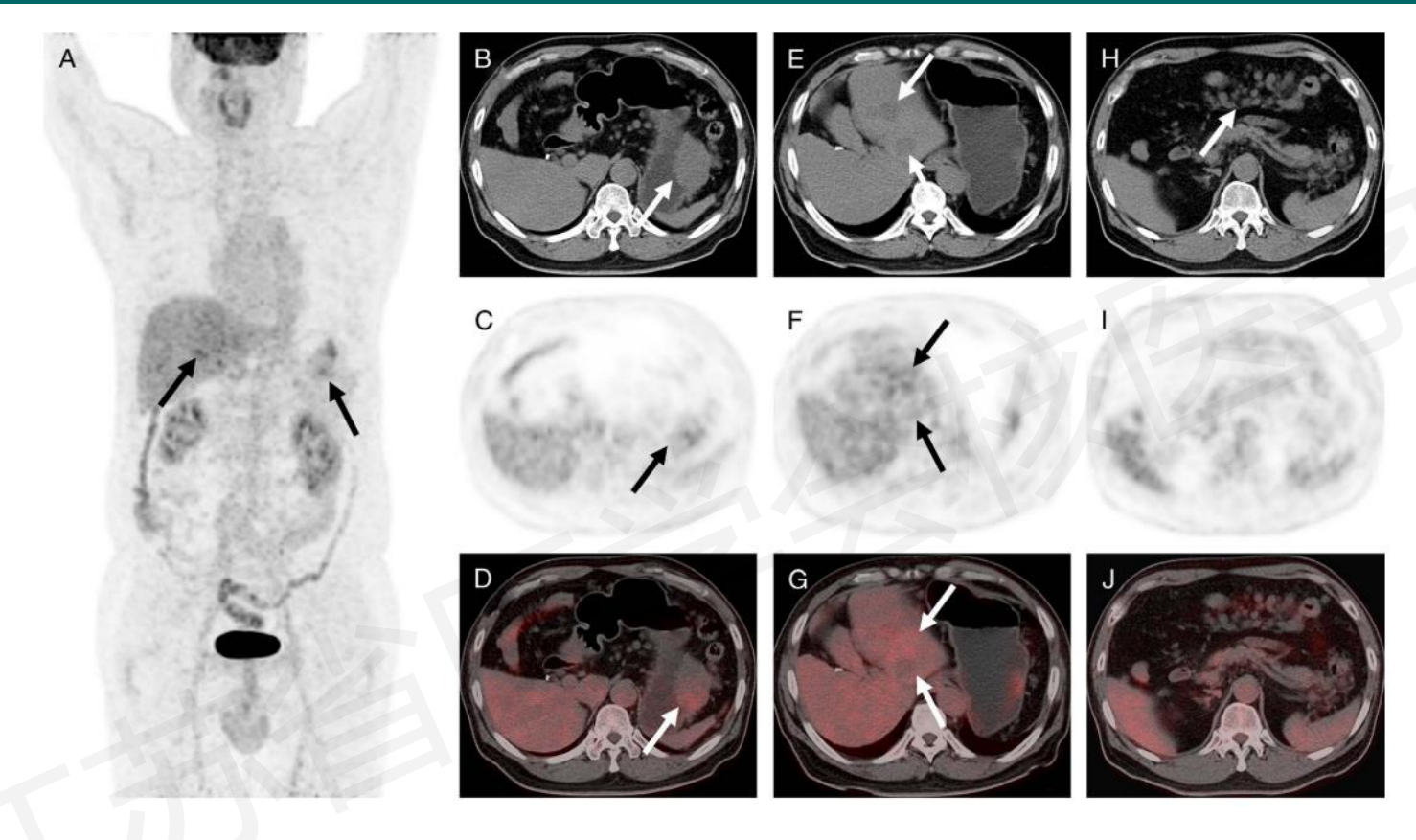
GIST PET/CT表现



小肠间质瘤伴肝内多发转移,腰椎及右侧股骨转移,SUVmax12.61

Aktan M, Koc M, Yavuz BB, Kanyilmaz G. Two cases of gastrointestinal stromal tumor of the small intestine with liver and bone metastasis. Ann Transl Med. 2015 Oct;3(17):259. doi: 10.3978/j.issn.2305-5839.2015.09.46. PMID: 26605305.

GIST PET/CT表现



- A: MIP图像(A, 箭头)显示胃和肝区域局灶性不规则摄取18F-FDG。
- B、C、D胃体大弯侧肿块 SUVmax, 3.1。
- E、F、G肝内低密度结节伴轻度18F-FDG摄取;SUVmax, 2.9。
- H、I、J腹膜后淋巴结肿大,未见FDG摄取。

鉴别诊断

	GIST	类癌	小肠淋巴瘤	小肠腺癌		
常见部位	空肠	回肠	回肠	空肠近端与回肠 远端		
大小	3-10cm	<2cm	直径不等	2-4cm		
起源	Cajal细胞	神经内分泌细胞	淋巴组织	上皮细胞		
肠梗阻	可有	可有	不易发生	易发生		
影像学表现	腔外生长 完整的黏膜 明显强化	腔内生长明显强化	腔内肿块,轻 度强化,肠壁 增厚,肠腔动 脉瘤样扩张	局灶生长,不规则肿块,环形/非对称性增厚+管腔狭窄		
转移	转移 肝脏多见 淋巴结少见		淋巴结	腹膜、肝脏、淋 巴结		